

**PANM 14, Dolní Maxov, 1. – 6. června 2008**

# **Modelování rezonančních vlastností kulového tlumiče**

**Jiří Náprstek, Cyril Fischer**



**Institute of Theoretical and Applied Mechanics, v.v.i.  
Academy of Sciences of the Czech Republic,  
190 00 Praha 9, Prosecká 76**

# OSNOVA

## 1. ÚVOD

## 2. MATEMATICKÝ MODEL

### 2.1. Sférická a Cartézská verze základní diferenciální soustavy

## 3. SEMI-TRIVIÁLNÍ ŘEŠENÍ VE VERTIKÁLNÍ ROVINĚ

### 3.1. Semi-triviální řešení

### 3.2. Analýza stability

### 3.3. Vztah rezonančních křivek a hranic stability

## 4. POST-KRITICKÁ ODEZVA V REZONANČNÍ OBLASTI

### 4.1. Simulace

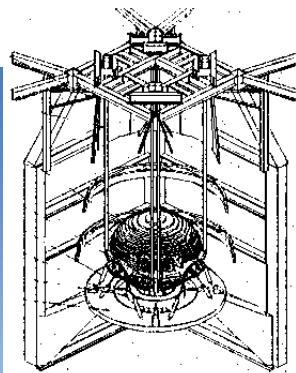
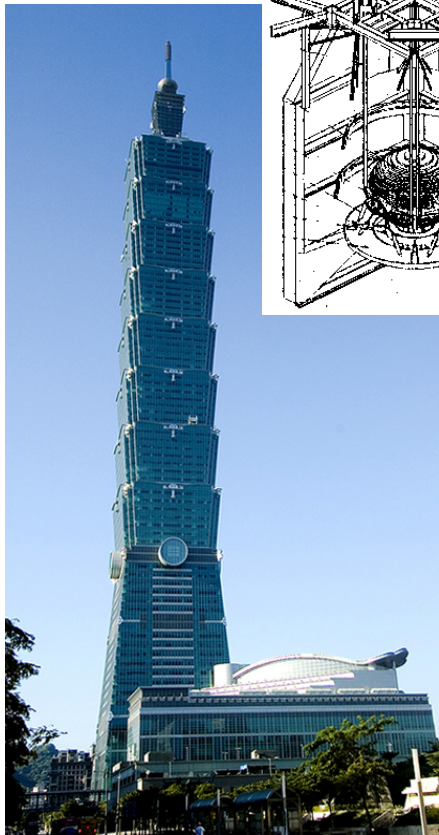
### 4.2. Stacionární řešení v rezonanční oblasti – limitní cykly

## 5. NUMERICKÝ VÝPOČET REZONANČNÍ KŘIVKY

## 6. ZÁVĚR

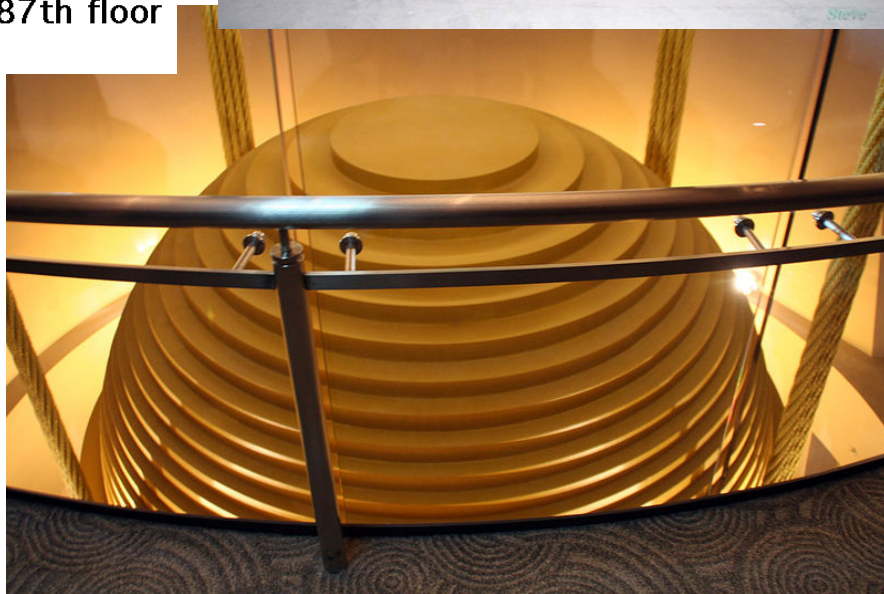
# 1. ÚVOD — MOTIVACE

Motivační obrázek: Taipei 101, Taiwan. Současný nejvyšší mrakodrap (508 m) užívá jako tlumič kmitů kyvadlo, které váží 700 000kg



92nd floor

87th floor



Existují však i konstrukce, které tlumič nemají a kde by docela hodil – a nemusíme chodit daleko



## 2. MATEMATICKÝ MODEL

### 2.1. Sférická a Cartézská verze základní diferenciální soustavy

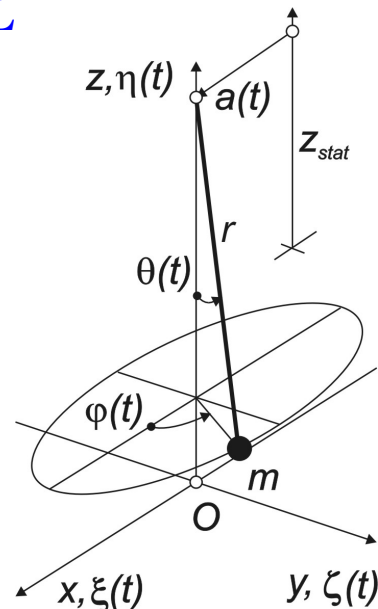
Semi-triviální řešení a jeho porucha se nedá formulovat v proměnných  $\theta(t)$ ,  $\varphi(t)$ .

Soustavu je třeba popsat přibližně v souřadnicích  $x, y, z$  s jednou vedlejší geometrickou podmínkou

Složky pohybu  $\xi(t)$ ,  $\zeta(t)$  odpovídají souřadnicím  $x, y$ .

$$\underbrace{r\ddot{\theta} + (g - r\dot{\varphi}^2 \cos \theta) \sin \theta}_{\text{konzervativní část}} = \underbrace{-\ddot{a} \cos \theta \cos \varphi - 2r\omega_b \dot{\theta}}_{\text{absorbce a disipace energie}}$$

$$\underbrace{r(\dot{\varphi} \sin^2 \theta)}_{\text{konzervativní část}} = \underbrace{\ddot{a} \sin \theta \sin \varphi - 2r\omega_b \dot{\varphi} \sin \theta}_{\text{absorbce a disipace energie}}$$



**Kinetická energie:**

$$T = \frac{m}{2} \left[ \dot{\xi}^2 + \dot{\zeta}^2 + \frac{1}{4r^2} (\dot{\xi}^2 + \dot{\zeta}^2)^2 \left( 1 + \frac{\xi^2 + \zeta^2}{2r^2} \right) + 2\dot{u}\dot{\xi} + \dot{u}^2 \right];$$

kde:  $(\dots)' = \frac{d}{dt}(\dots)$ .

**Potenciální energie:**

$$1 - \cos \theta \approx \frac{1}{2}\theta^2 - \frac{1}{24}\theta^4 \quad \Rightarrow \quad V = mg \left[ \frac{1}{2r}(\xi^2 + \zeta^2) + \frac{1}{8r^3}(\xi^2 + \zeta^2)^2 \right]$$

**Přibližná Lagrangeova soustava ve složkách  $\xi, \zeta$  — v Cartézské soustavě:**

$O(\varepsilon^6)$ ;  $\varepsilon^2 = (\xi^2 + \zeta^2)/r^2$ :

$$\begin{aligned}\ddot{\xi} + \frac{1}{2r^2}\xi(\xi^2 + \zeta^2)'' + 2\omega_b\dot{\xi} + \frac{g}{r}\left(\xi + \frac{1}{2r^2}\xi(\xi^2 + \zeta^2)\right) &= -\ddot{a} \\ \ddot{\zeta} + \frac{1}{2r^2}\zeta(\xi^2 + \zeta^2)'' + 2\omega_b\dot{\zeta} + \frac{g}{r}\left(\zeta + \frac{1}{2r^2}\zeta(\xi^2 + \zeta^2)\right) &= 0\end{aligned}$$

$\omega_b$  - relativní měřítko viskozního útlumu.

### 3. SEMI-TRIVIÁLNÍ ŘEŠENÍ VE VERTIKÁLNÍ ROVINĚ

#### 3.1. Semi-triviální řešení

##### Předpokládáme

- harmonické buzení (pravá strana):  $a(t) = a_0 \sin \omega t$
- pohyb ve vertikální rovině:  $\zeta_0 = 0$
- obecný tvar řešení:  $\xi_0 = \xi_c \cos \omega t + \xi_s \sin \omega t$

Koeficienty  $\xi_c$ ,  $\xi_s$  jsou obecně funkce času:

(a) **Stacionární řešení:**  $\xi_c$ ,  $\xi_s$  konvergují ke konstantám;

(b) **Obecný případ:** řešení je nestacionární, amplitudy mohou sledovat periodické i neperiodické křivky.

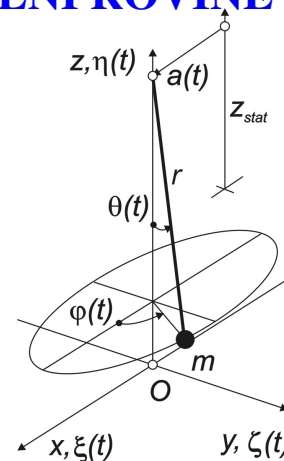
Soustava se redukuje na rovnici

$$\ddot{\xi} \left(1 + \frac{\xi^2}{r^2}\right) + \frac{1}{r^2} \xi \dot{\xi}^2 + \frac{1}{2} \omega_b \dot{\xi} + \omega_0^2 \xi \left(1 + \frac{1}{2r^2} \xi^2\right) - a_0 \omega^2 \sin \omega t = 0$$

**Stacionární stav** (metoda harmonické rovnováhy):

$$\xi_c \left( (\omega_0^2 - \omega^2) + \frac{1}{2r^2} \left( \frac{3}{4} \omega_0^2 - \omega^2 \right) (\xi_c^2 + \xi_s^2) \right) + \frac{1}{2} \omega \omega_b \cdot \xi_s = 0$$

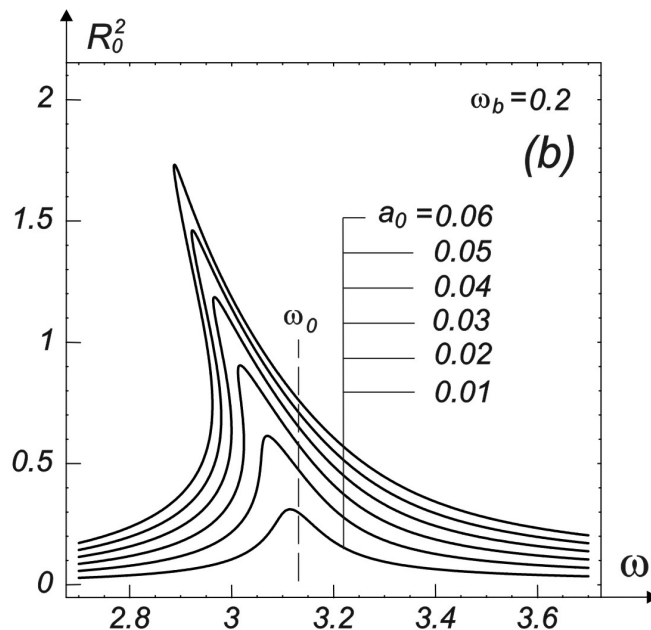
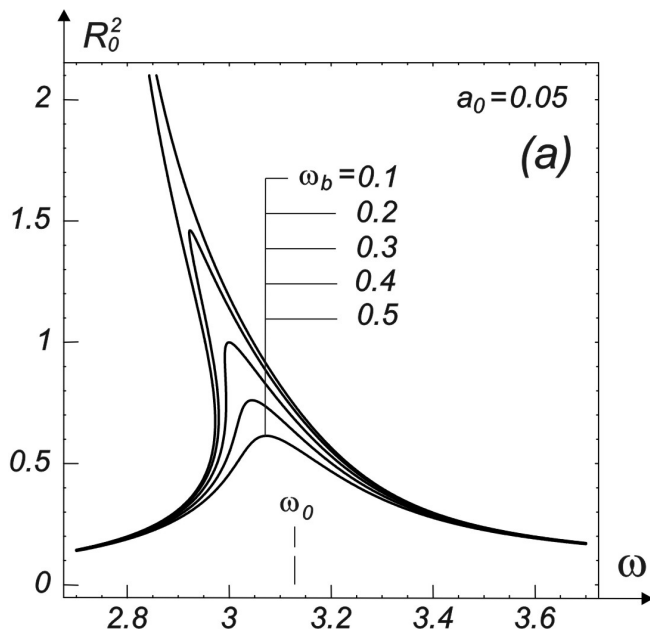
$$\xi_s \left( (\omega_0^2 - \omega^2) + \frac{1}{2r^2} \left( \frac{3}{4} \omega_0^2 - \omega^2 \right) (\xi_c^2 + \xi_s^2) \right) - \frac{1}{2} \omega \omega_b \cdot \xi_c = a_0 \cdot \omega^2$$



Rovnice pro amplitudu  $R_0^2 = \xi_c^2 + \xi_s^2$ :

$$R_0^2 \left[ \omega^2 \omega_b^2 + 4 \left( (\omega_0^2 - \omega^2) + \frac{1}{2r^2} \left( \frac{3}{4} \omega_0^2 - \omega^2 \right) R_0^2 \right)^2 \right] - 4\omega^4 a_0^2 = 0 ,$$

— tzv. rezonanční křivka



Rezonanční křivky jakožto semi-triviální řešení;

(a) pevná amplituda buzení, proměnný útlum; (b) pevný útlum, proměnná amplituda buzení.



## 3.2. Analýza stability

**Rozšíříme semitriviální řešení o lineární poruchu v obou souřadnicích:**

$$\begin{aligned}\xi &= \xi_0 + u & (u = u(t)) , & (a) \\ \zeta &= 0 + v & (v = v(t)) . & (b)\end{aligned}$$

kde

$$\begin{aligned}u(t) &= u_c \cos \omega t + u_s \sin \omega t , \\ v(t) &= v_c \cos \omega t + v_s \sin \omega t .\end{aligned}$$

”Lineární” a ”malá” porucha ... zachovají se první mocniny  $u, v$  a jejich derivací.

Harmonická rovnováha; dvě lineární algebraické soustavy pro  $u_c, u_s$  and  $v_c, v_s$ :

$$\left[ (\omega_0^2 - \omega^2) + \frac{1}{2r^2} \left( \frac{3}{4}\omega_0^2 - \omega^2 \right) (3\xi_c^2 + \xi_s^2) \right] u_c + \left[ \frac{1}{2}\omega\omega_b + \frac{1}{r^2} \left( \frac{3}{4}\omega_0^2 - \omega^2 \right) \xi_c\xi_s \right] u_s = 0 ,$$

$$\left[ \frac{1}{r^2} \left( \frac{3}{4}\omega_0^2 - \omega^2 \right) \xi_c\xi_s - \frac{1}{2}\omega\omega_b \right] u_c + \left[ (\omega_0^2 - \omega^2) + \frac{1}{2r^2} \left( \frac{3}{4}\omega_0^2 - \omega^2 \right) (\xi_c^2 + 3\xi_s^2) \right] u_s = 0 ,$$

$$\left[ (\omega_0^2 - \omega^2) + \frac{1}{2r^2} \left( \frac{3}{4}\omega_0^2 - \omega^2 \right) \xi_c^2 + \frac{1}{2r^2} \left( \frac{1}{4}\omega_0^2 + \omega^2 \right) \xi_s^2 \right] v_c + \left[ \frac{1}{r^2} \left( \frac{1}{4}\omega_0^2 - \omega^2 \right) \xi_c\xi_s + \frac{1}{2}\omega\omega_b \right] v_s = 0 ,$$

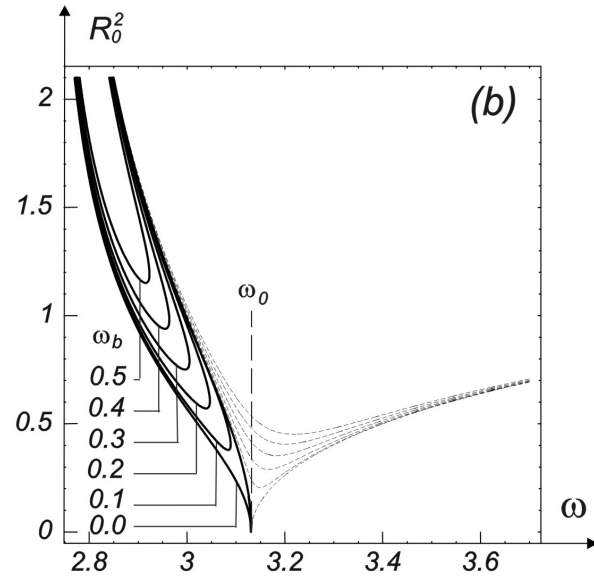
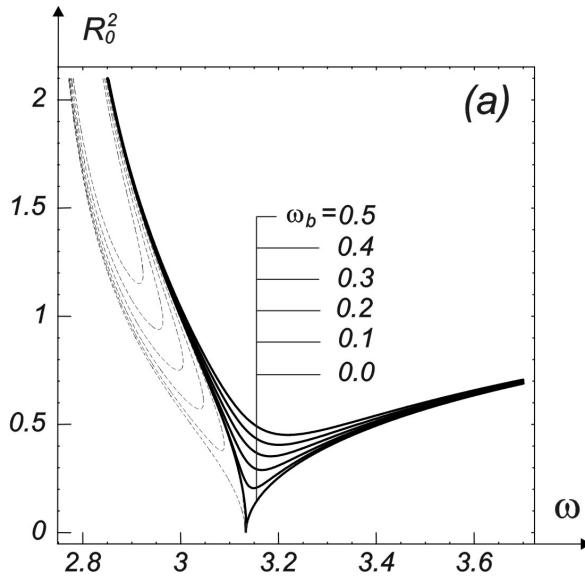
$$\left[ \frac{1}{r^2} \left( \frac{1}{4}\omega_0^2 - \omega^2 \right) \xi_c\xi_s - \frac{1}{2}\omega\omega_b \right] v_c + \left[ (\omega_0^2 - \omega^2) + \frac{1}{2r^2} \left( \frac{3}{4}\omega_0^2 - \omega^2 \right) \xi_s^2 + \frac{1}{2r^2} \left( \frac{1}{4}\omega_0^2 + \omega^2 \right) \xi_c^2 \right] v_s = 0 .$$

hranice stability :

pro amplitudy  $R_u^2 = u_c^2 + u_s^2$ ,  $R_v^2 = v_c^2 + v_s^2$ 

$$\zeta : R_v^2 \frac{1}{2r^2} \left( \frac{3}{4}\omega_0^2 - \omega^2 \right) \left( 3R_v^2 \frac{1}{2r^2} \left( \frac{3}{4}\omega_0^2 - \omega^2 \right) + 4(\omega_0^2 - \omega^2) \right) + (\omega_0^2 - \omega^2)^2 + \frac{1}{4}\omega^2\omega_b^2 = 0$$

$$\xi : R_u^2 \left( \frac{\omega_0^2}{2r^2} (\omega_0^2 - \omega^2) + R_u^2 \frac{1}{4r^4} \left( \frac{3}{4}\omega_0^2 - \omega^2 \right) \left( \frac{1}{4}\omega_0^2 + \omega^2 \right) \right) + (\omega_0^2 - \omega^2)^2 + \frac{1}{4}\omega^2\omega_b^2 = 0$$



Hranice stability semi-triviálního řešení:

(a) kolmo k rovině  $(xz)$  - hranice stability  $\zeta$ ; (b) v rovině  $(xz)$  - hranice stability  $\xi$ .

video

## 4. POST-KRITICKÁ ODEZVA V REZONANČNÍ OBLASTI

### 4.1. Simulace - numerický výpočet

- Fourierova transformace numerického řešení ukazuje, že řešení obsahuje pouze frekvenci odpovídající frekvenci buzení  $\omega$  v celé rezonanční oblasti.
- Podle obrázku (e) je možné očekávat stacionární řešení i v rezonanční oblasti.

**Uvažujme obecnější tvar řešení:**

$$\xi(t) = a_c(t) \cos \omega t + a_s(t) \sin \omega t$$

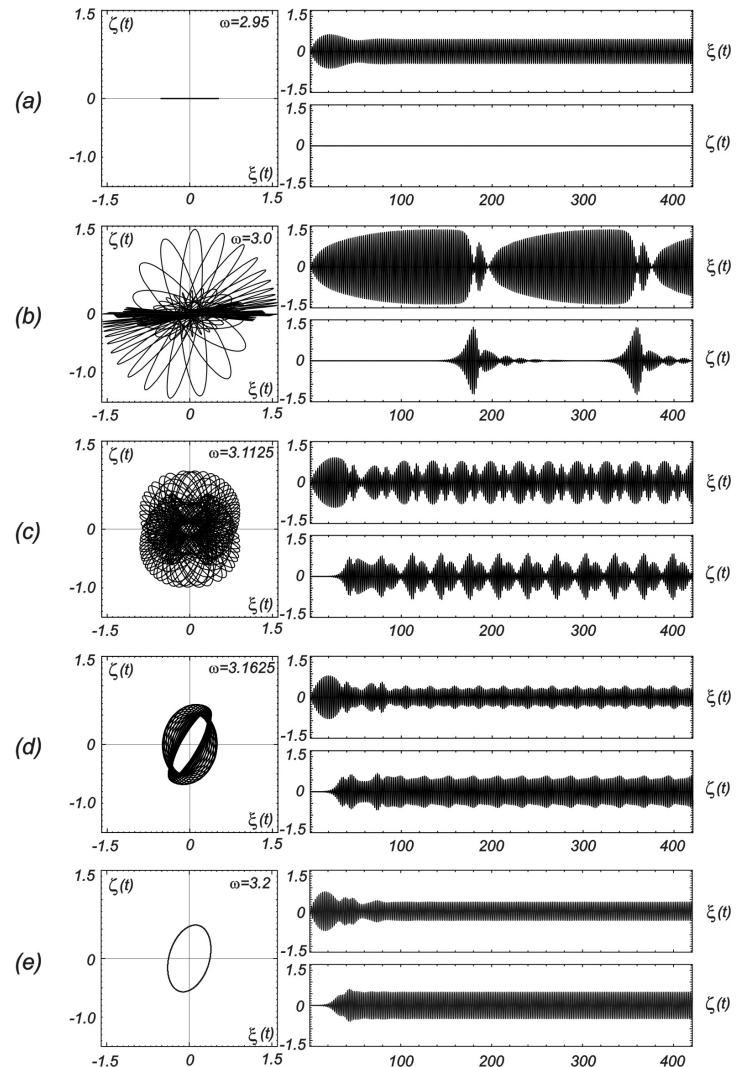
$$\zeta(t) = b_c(t) \cos \omega t + b_s(t) \sin \omega t$$

pro 4 neznámé  $a_c, a_s, b_c, b_s$  namísto 2  $\xi, \zeta$  můžeme definovat 2 další podmínky:

$$\dot{\xi}(t) = -a_c \omega \sin \omega t + a_s \omega \cos \omega t$$

$$\dot{\zeta}(t) = -b_c \omega \sin \omega t + b_s \omega \cos \omega t$$

kde  $a_c = a_c(t), a_s = a_s(t), b_c = b_c(t), b_s = b_s(t)$ .



**Diferenciální soustava pro amplitudy**  $a_c = a_c(t)$ ,  $a_s = a_s(t)$ ,  $b_c = b_c(t)$ ,  $b_s = b_s(t)$ :

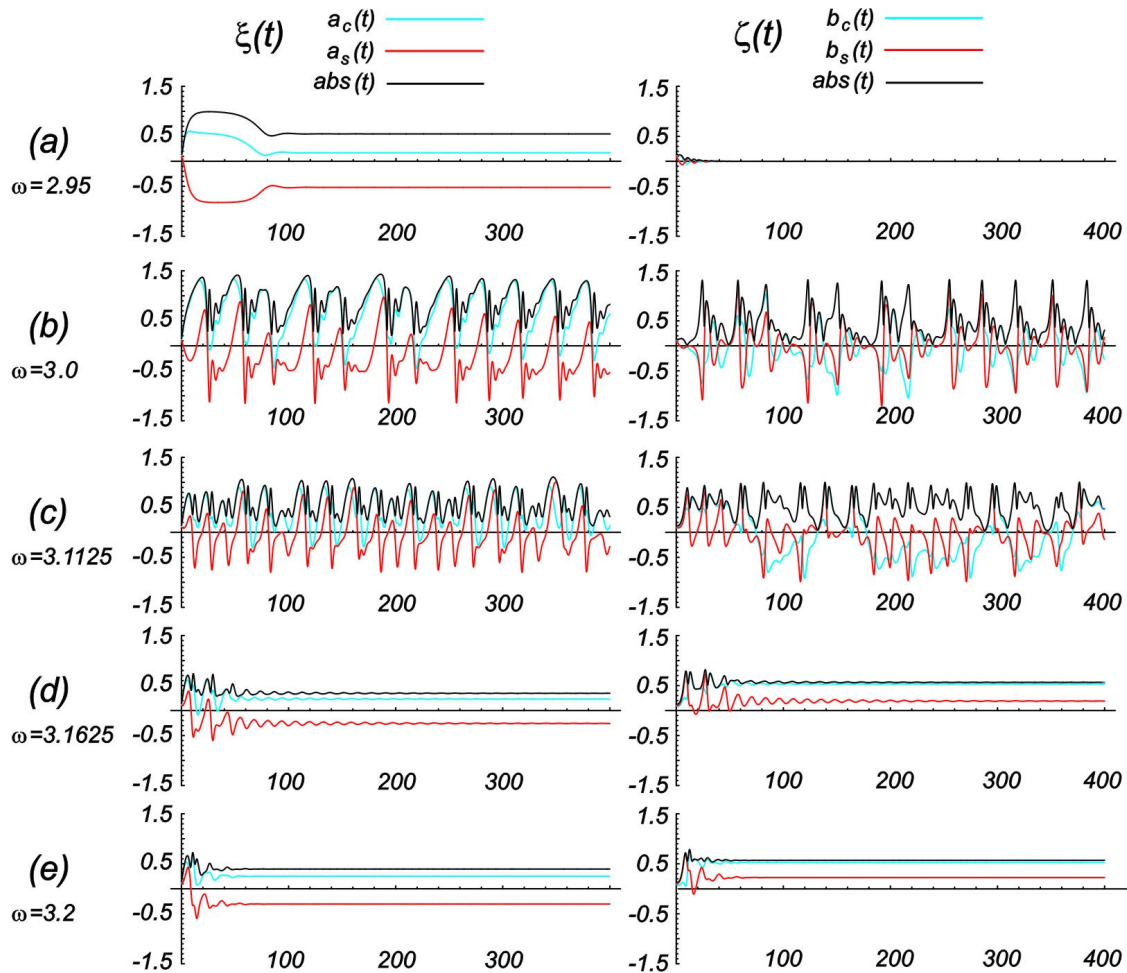
$$\omega \begin{bmatrix} -2a_c a_s, & 4r^2 + 3a_c^2 + a_s^2, & -a_s b_c - a_c b_s, & 3a_c b_c + a_s b_s \\ -4r^2 - a_c^2 - 3a_s^2, & 2a_c a_s, & -a_c b_c - 3a_s b_s, & a_s b_c + a_c b_s \\ -a_s b_c - a_c b_s, & 3a_c b_c + a_s b_s, & -2b_c b_s, & 4r^2 + 3b_c^2 + b_s^2 \\ -a_c b_c - 3a_s b_s, & a_s b_c + a_c b_s, & -4r^2 - b_c^2 - 3b_s^2, & 2b_c b_s \end{bmatrix} \begin{bmatrix} \dot{a}_c \\ \dot{a}_s \\ \dot{b}_c \\ \dot{b}_s \end{bmatrix} =$$

$$= -\frac{1}{2} \begin{bmatrix} a_c (8\Omega_2 r^2 + (a_c^2 + a_s^2 + b_c^2) \Omega_1 + b_s^2 \Omega_3) + 2a_s (2\beta\omega r^2 + b_c b_s \Omega_4) \\ 8\omega^2 a_0 r^2 + a_s (8\Omega_2 r^2 + (a_c^2 + a_s^2 + b_s^2) \Omega_1 + b_c^2 \Omega_3) - 2a_c (2\beta\omega r^2 - b_c b_s \Omega_4) \\ b_c (8\Omega_2 r^2 + (a_c^2 + b_c^2 + b_s^2) \Omega_1 + a_s^2 \Omega_3) + 2b_s (2\beta\omega r^2 + a_c a_s \Omega_4) \\ b_s (8\Omega_2 r^2 + (a_s^2 + b_c^2 + b_s^2) \Omega_1 + a_c^2 \Omega_3) - 2b_c (2\beta\omega r^2 - a_c a_s \Omega_4) \end{bmatrix},$$

označení:

$$\Omega_1 = 3\omega_0^2 - 4\omega^2, \quad \Omega_2 = \omega_0^2 - \omega^2, \quad \Omega_3 = \omega_0^2 + 4\omega^2, \quad \Omega_4 = \omega_0^2 - 4\omega^2.$$

budeme řešit numericky



Numerický výpočet amplitud v rezonanční oblasti

## 4.2. Stacionární řešení v rezonanční oblasti - limitní cykly

$$\lim_{t \rightarrow \infty} a_c, a_s, b_c, b_s = \text{const.} \Rightarrow \lim_{t \rightarrow \infty} \dot{a}_c, \dot{a}_s, \dot{b}_c, \dot{b}_s = 0$$

tzn. pravá strana výše uvedené soustavy musí být nulová:

$$\begin{aligned} a_c \cdot (8\Omega_2 r^2 + R_A^2 \Omega_1) + 2b_s S_A^2 \Omega_4 + 4a_s \omega_b \omega r^2 &= 0 \\ a_s \cdot (8\Omega_2 r^2 + R_A^2 \Omega_1) - 2b_c S_A^2 \Omega_4 - 4a_c \omega_b \omega r^2 &= -8\omega^2 a_0 r^2 \\ b_c \cdot (8\Omega_2 r^2 + R_A^2 \Omega_1) - 2a_s S_A^2 \Omega_4 + 4b_s \omega_b \omega r^2 &= 0 \\ b_s \cdot (8\Omega_2 r^2 + R_A^2 \Omega_1) + 2a_c S_A^2 \Omega_4 - 4b_c \omega_b \omega r^2 &= 0 \end{aligned}$$

$$R_A^2 = a_c^2 + a_s^2 + b_c^2 + b_s^2 > 0; \quad S_A^2 = a_s b_c - a_c b_s$$

$R_A^2$  ... ”(zobecněná) amplituda”,  $S_A^2$  ... ”(zobecněná) fáze”

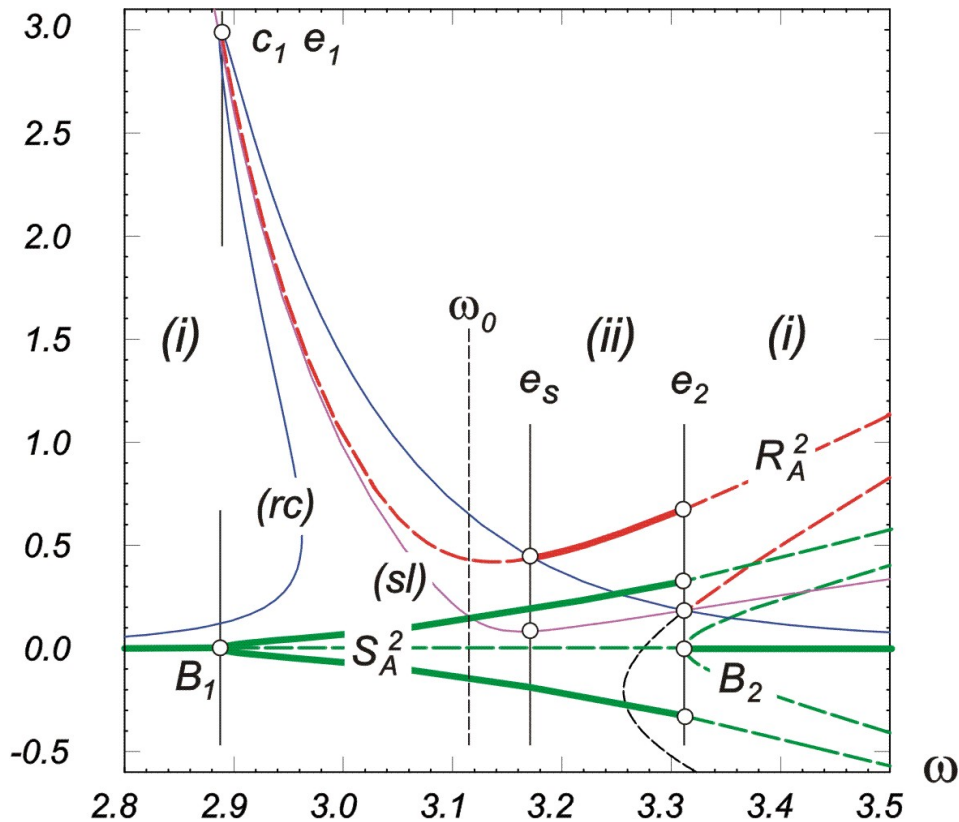
$$R_A^2 \cdot [(8\Omega_2 r^2 + R_A^2 \Omega_1)^2 + 4S_A^4 \Omega_4^2 + 16\omega_b^2 \omega^2 r^4] - 8S_A^4 (8\Omega_2 r^2 + R_A^2 \Omega_1) \Omega_4 = 64\omega^4 a_0^2 r^4$$

$$S_A^2 \cdot [2R_A^2 (8\Omega_2 r^2 + R_A^2 \Omega_1) \omega_4 - (8\Omega_2 r^2 + R_A^2 \Omega_1)^2 - 16\omega_b^2 \omega^2 r^4 - 4S_A^4 \Omega_4^2] = 0$$

(i)  $S_A^2 = 0$   
buď jsou vektory  $[a_c, a_s], [b_c, b_s]$  kolineární  $\Rightarrow \xi(t)/\zeta(t) = \text{const}$   
anebo  $\zeta = 0$

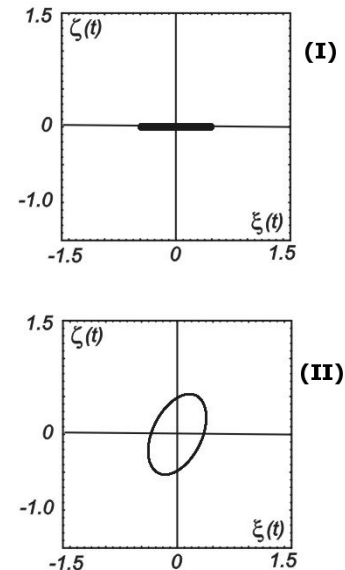
(ii)  $S_A^2 \neq 0$

$$(8\Omega_2 r^2 + R_A^2 \Omega_1) [(R_A^2 \omega_0^2 + 4\Omega_2 r^2)^2 + 4\omega_b^2 \omega^2 r^4] = 8\Omega_4 \omega^4 a_0^2 r^4$$



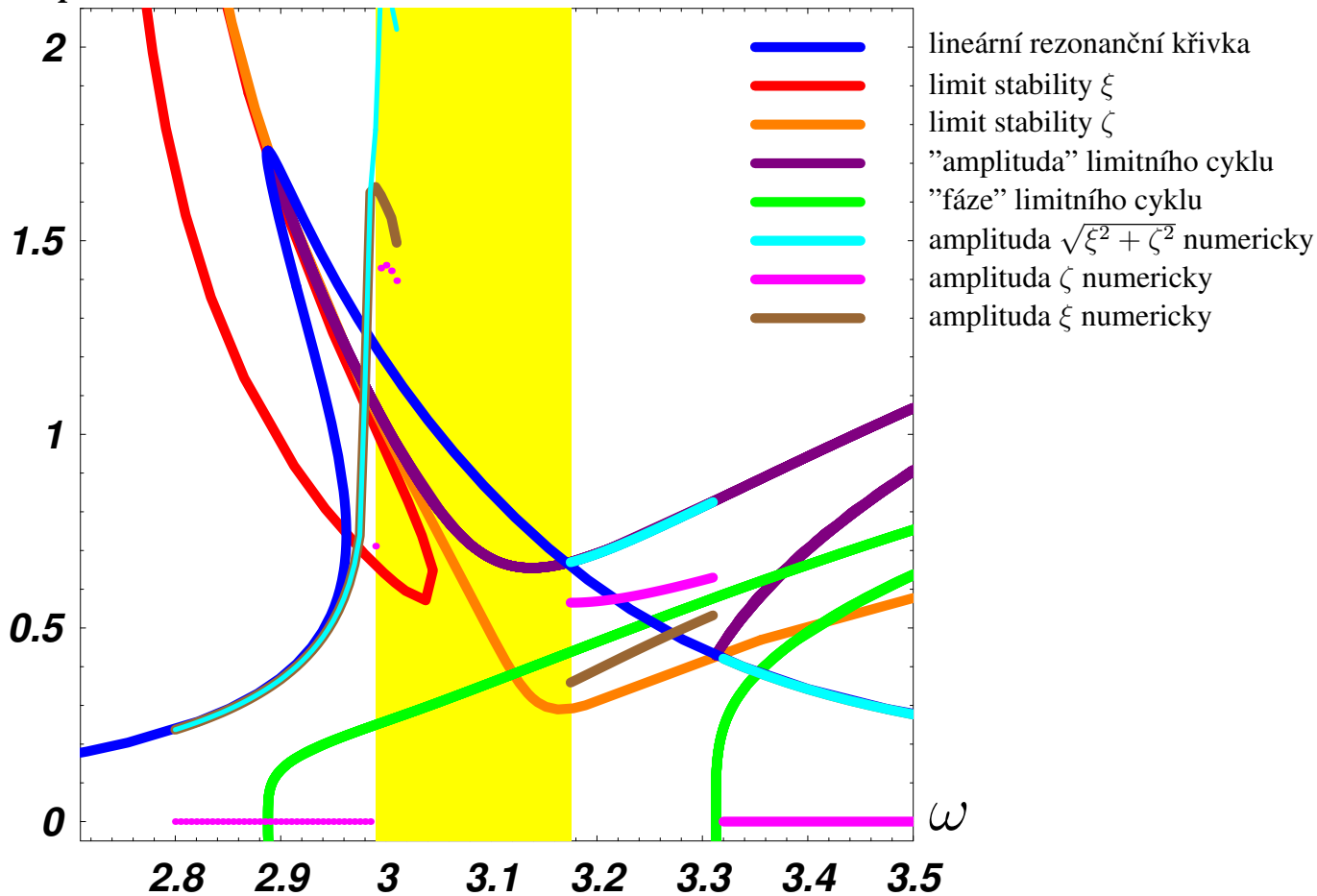
- $R_A^2, S_A^2$  - amplituda a fázový posuv;  
 spojitá čára - stabilní, čárkovaná čára - nestabilní;  
 $(rc), (sl)$  - rezonanční křivka,  $\zeta$  hranice stability;  
 $B_1, B_2$  - bifurkační body;  $B_1 \equiv c_1, e_1$ ,  $B_2 \equiv e_2$ ;  
 $e_s$  - minimum hranice stability  $\zeta$ , průsečík  $(rc)$  a  $R_A^2$ .

Tvar příslušných  
limitních cyklů



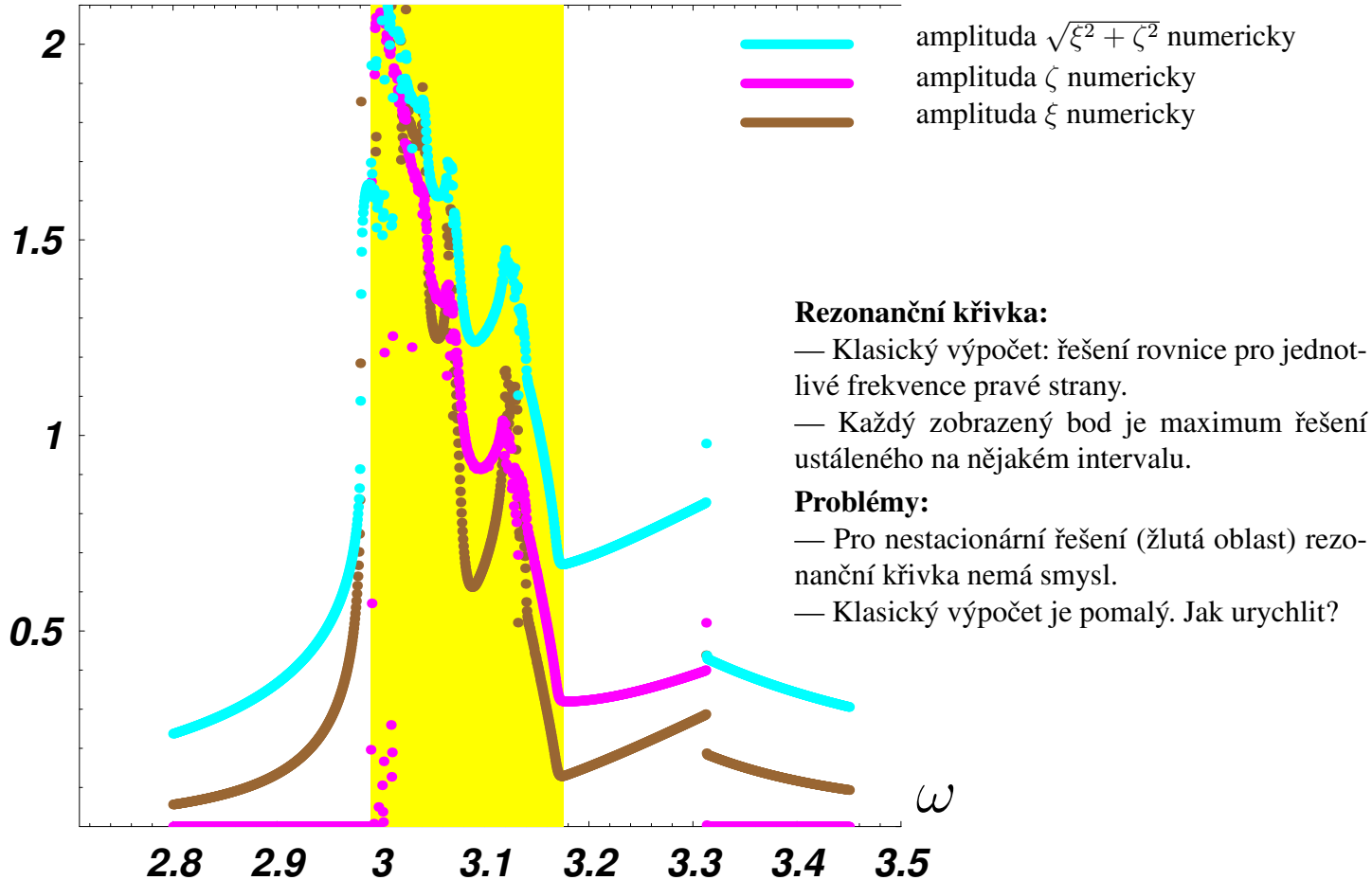


## 4.3. Shrnutí

*amplituda*

## 5. Numerické počítání ”rezonančních” křivek

*amplituda*

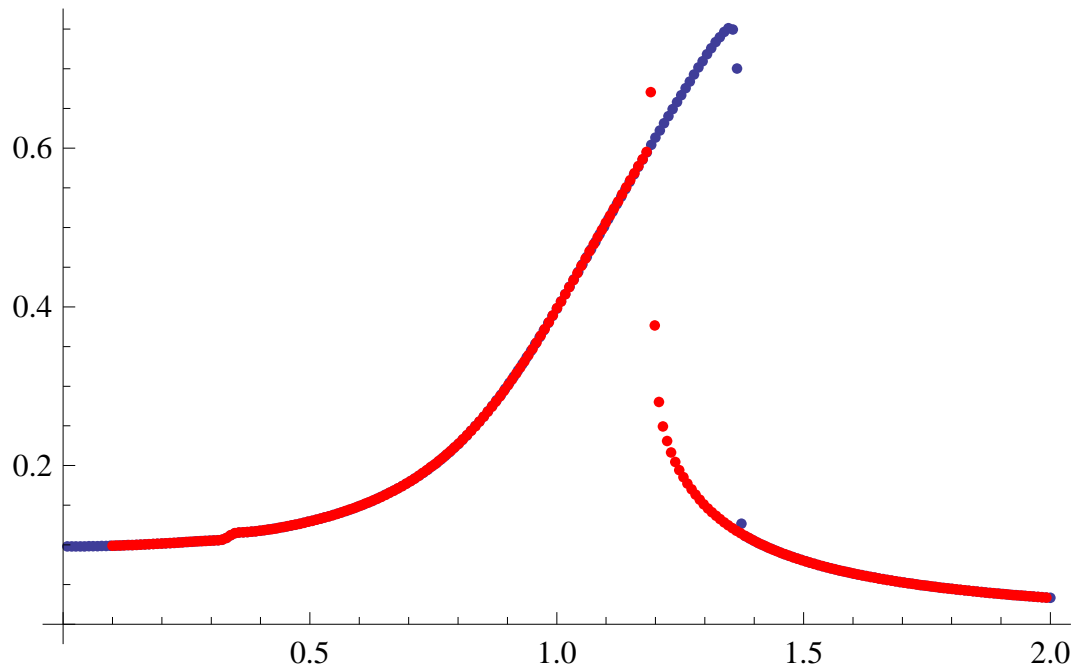


## Rezonanční křivka Duffingovy rovnice

Příklad hezké numericky spočtené rezonanční křivky — Duffingova rovnice

$$\gamma''[t] + 0.1\gamma'[t] + 2\gamma[t]^3 + \gamma[t] = 0.1 \sin \omega t$$

pro  $\omega \in (0, 2)$ .



## 6. ZÁVĚR

- 1.** Efektivita kyvadla jako dynamického tlumiče kmitání je silně závislá na existenci semi-triviálního řešení. Z toho důvodu se zkoumala stabilita pohybu kyvadla ve svislé rovině  $xz$ .
- 2.** Existují dva typy ztráty stability pohybu vzhledem ke svislé rovině:  $\zeta$  stabilita - pohyb kolmo k rovině ( $xz$ );  $\xi$  stabilita - pohyb v rovině ( $xz$ ).
- 3.** Při projíždění rezonanční oblasti se potkáme s ledasčím: řešení má charakter semi-triviální, deterministický stacionární i nestacionární, kvazi-periodický, chaotický.
- 4.** Projíždíme-li rezonanční oblasti, narazíme na dva typy limitních cyklů (stacionární řešení).
- 5.** Poměr amplitudy buzení a faktoru útlumu by neměl přesáhnout jistou hranici, aby se zabránilo vzniku prostorového pohybu a tím se zajistila dokonalá funkce tlumiče.